

УДК 539.3:539.621

ТЕРМОУПРУГАЯ НЕУСТОЙЧИВОСТЬ В СВЯЗАННОЙ КВАЗИСТАТИЧЕСКОЙ ЗАДАЧЕ ТЕРМОУПРУГОСТИ О СКОЛЬЗЯЩЕМ КОНТАКТЕ С РАЗОГРЕВОМ ОТ ТРЕНИЯ

© 2019 г. В. Б. Зеленцов^а, Б. И. Митрин^{а,*}

^аДонской государственный технический университет, Ростов-на-Дону, Россия

* e-mail: bmitrin@dstu.edu.ru

Поступила в редакцию 07.08.2017 г.

После доработки 07.08.2017 г.

Принята к публикации 03.05.2018 г.

Рассматривается связанная квазистатическая контактная задача термоупругости о скользящем фрикционном контакте с учетом разогрева от трения. Точные решения задачи построены в виде сверток Лапласа, а после их вычисления – в виде бесконечных рядов по собственным числам задачи. Исследование собственных чисел задачи проводится в зависимости от трех безразмерных параметров задачи. На основании анализа полученных решений удается в пространстве безразмерных параметров выделить области устойчивых и неустойчивых решений. Свойства полученных решений изучаются в зависимости от размерных и безразмерных параметров задачи. В условиях основной задачи исследования формулируются и решаются частные задачи о мониторинге параметров скользящего контакта, а также задачи об управлении параметрами контакта для избежания термоупругой неустойчивости.

Ключевые слова: связанная термоупругость, квазистатика, скольжение, трение, тепловыделение от трения, термоупругая неустойчивость

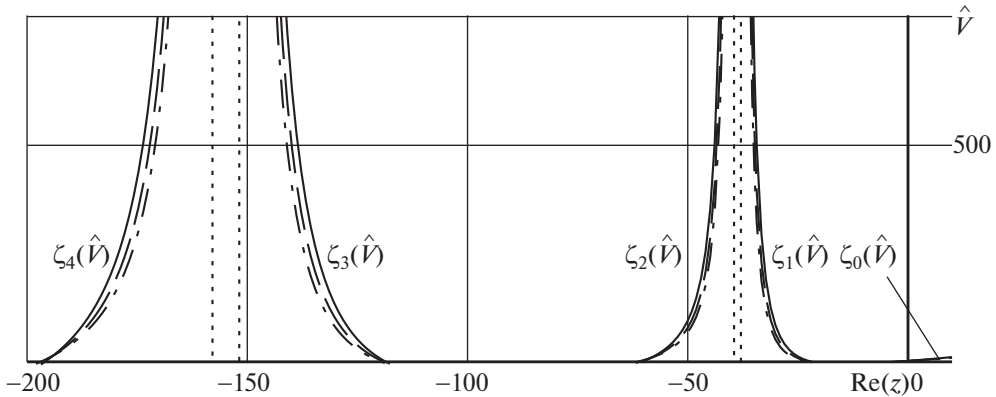
DOI: 10.1134/S0572329919010124

1. Введение. Повышенный интерес к исследованию задач термоупругости с учетом взаимодействия полей деформации и температуры получил развитие в середине прошлого века [1–3]. Новое направление исследований – связанная термоупругость – получило развитие в [3–5] и других.

Для решения задач связанной термоупругости использовались как аналитические [4, 5], так и численные [6] методы: метод конечных элементов, метод граничных и интегральных уравнений и др. Для решения связанных задач термоупругости разрабатывались в основном конечно-элементные модели в [7–11] и других. Аналитические методы решения этого класса задач были подытожены в [12].

Несвязанные задачи термоупругости о скользящем контакте жесткого тела с упругим покрытием с учетом трения и разогрева от трения на контакте рассматривались как отечественными, так и зарубежными учеными [13–23]. Исследование несвязанных задач термоупругости о скользящем контакте позволило установить наличие областей устойчивых и неустойчивых решений. Изучению свойств неустойчивых решений несвязанных задач термоупругости о скользящем контакте посвящены исследования, проводимые как аналитическими [13, 22, 23], так и численными методами [14–21].

В настоящей работе в рамках связанной термоупругости аналитическими методами в пространстве безразмерных параметров задачи изучаются границы области устойчивых и области неустойчивых решений, которую на практике часто называют областью



Фиг. 1

термоупругой неустойчивости скользящего контакта. Исследуются признаки возникновения и развития термоупругой неустойчивости. Формулируются частные задачи опосредованного мониторинга основных параметров скользящего контакта и задачи управления этими параметрами.

2. Постановка основной задачи. Рассматривается контактная задача связанной термоупругости о скольжении с постоянной скоростью V жесткой теплоизолированной полуплоскости I ($h \leq x < \infty$) по верхней поверхности ($x = h$) упруго теплопроводящего покрытия толщины h ($0 \leq x \leq h$), нижняя поверхность которого жестко сцеплена с недеформируемой, нетеплопроводной подложкой в виде полуплоскости II ($-\infty < x < 0$). Скольжение полуплоскости I по поверхности упругого покрытия происходит с учетом кулоновского трения. Поток тепла, образующийся на контакте за счет трения, направлен в покрытие. С начального момента времени движущаяся вдоль оси y полуплоскость I деформирует поверхность ($x = h$) упругого покрытия, смещаясь в направлении, противоположном направлению оси x , по закону $\Delta(t)$. До начального момента покрытие находится в покое, а его температура равняется T_0 .

Рассматриваемая задача предполагает, что распределения температуры, смещений и напряжений в покрытии не зависят от выбора горизонтальной координаты по оси y , параллельной направлению движения полуплоскости I , и являются функциями только вертикальной координаты x и времени t . В этом случае дифференциальные уравнения термоупругости [24]:

$$\frac{\partial^2 u}{\partial x^2} = \frac{1+\nu}{1-\nu} \alpha \frac{\partial T}{\partial x}, \quad \frac{\partial^2 w}{\partial x^2} = 0, \quad 0 < x < h, \quad t > 0 \quad (2.1)$$

совместно с дифференциальным уравнением связанной теплопроводности [24]:

$$\frac{\partial^2 T}{\partial x^2} - \frac{1}{\kappa} \frac{\partial T}{\partial t} = \frac{3\lambda + 2\mu}{K} \alpha T_0 \frac{\partial^2 u}{\partial x \partial t}, \quad 0 < x < h, \quad t > 0 \quad (2.2)$$

составляют систему дифференциальных уравнений связанной термоупругости, описывающих поведение упругого покрытия, в которых $u(x, t)$, $w(x, t)$ – вертикальные и горизонтальные смещения материала покрытия, $T(x, t)$ – температура в покрытии, λ , μ – постоянные Ламе, ν – коэффициент Пуассона, α – коэффициент линейного теплового расширения материала покрытия, κ – коэффициент теплопроводности, K – коэффициент теплопроводности, T_0 – начальная температура в покрытии.

Граничные условия сформулированной задачи для дифференциальных уравнений (2.1), (2.2) имеют вид:

$$x = h: \quad u(h, t) = -\Delta(t), \quad \sigma_{xy}(h, t) = -f\sigma_{xx}(h, t) \quad (2.3)$$

$$K \frac{\partial T(h, t)}{\partial x} = -fV\sigma_{xx}(h, t) \quad (2.4)$$

$$x = 0: \quad u(0, t) = 0, \quad w(0, t) = 0, \quad (2.5)$$

$$K \frac{\partial T(0, t)}{\partial x} = k(T(0, t) - T_0) \quad (2.6)$$

где f – коэффициент трения, k – коэффициент теплообмена, $\sigma_{xx}(x, t)$, $\sigma_{xy}(x, t)$ – нормальные и касательные напряжения в покрытии:

$$\sigma_{xx} = (\lambda + 2\mu) \frac{\partial u}{\partial x} - (3\lambda + 2\mu) \alpha(T - T_0), \quad \sigma_{xy} = \mu \frac{\partial w}{\partial x} \quad (2.7)$$

Начальные условия задачи на смещения u , w – нулевые:

$$u(x, 0) = w(x, 0) = 0, \quad \Delta(0) = 0 \quad (2.8)$$

Начальная температура в покрытии

$$T(x, 0) = T_0 \quad (2.9)$$

Следует заметить, что вертикальные смещения $u(x, t)$, нормальные напряжения $\sigma_{xx}(x, t)$ и температура $T(x, t)$ в упругом покрытии определяются независимо от горизонтальных смещений $w(x, t)$. Горизонтальные смещения определяются из второго уравнения в (2.1), граничных (2.3), (2.5) и начальных условий (2.8) через нормальные напряжения $\sigma_{xx}(h, t)$.

3. Точное решение задачи. Решение связанной контактной задачи термоупругости, поставленной в предыдущем пункте, определяется с помощью интегрального преобразования Лапласа [25] в виде свертки Лапласа для температуры $T(x, t)$, смещений $u(x, t)$ и напряжений $\sigma_{xx}(x, t)$ в покрытии

$$T(x, t) - T_0 = \frac{1 - \nu}{1 + \nu} \frac{1}{\alpha h_0} \int_0^t \Delta(\tau) f_T^0(x, t - \tau) d\tau, \quad 0 \leq x \leq h, \quad t > 0 \quad (3.1)$$

$$f_T^0(x, t) = \frac{1}{2\pi i} \int_{\Gamma} \frac{N_T^0(x, z)}{t_\kappa R(z)} e^{z\tilde{t}} dz, \quad \tilde{t} = \frac{t}{t_\kappa}, \quad t_\kappa = \frac{h^2}{\kappa} \quad (3.2)$$

$$N_T^0(x, z) = \hat{V}\beta^2 \sqrt{z} \left(\text{Bi sh } \sqrt{z} \frac{x}{h} + \sqrt{z} \text{ch } \sqrt{z} \frac{x}{h} \right) + \hat{T}z \left(r(z) - \text{Bi ch } \sqrt{z} \frac{h-x}{h} \right) \quad (3.3)$$

$$R(z) = zr(z) - \hat{V}\beta^2 (r(z) - \text{Bi}) + \hat{T}\text{Bi}\sqrt{z} \text{sh } \sqrt{z} \quad (3.4)$$

$$r(z) = \text{Bi ch } \sqrt{z} + \sqrt{z} \text{sh } \sqrt{z}$$

$$u(x, t) = -\int_0^t \Delta(\tau) f_u^0(x, t - \tau) d\tau, \quad 0 \leq x \leq h, \quad t > 0 \quad (3.5)$$

$$f_u^0(x, t) = \frac{1}{2\pi i} \int_{\Gamma} \frac{N_u^0(x, z)}{t_\kappa R(z)} e^{z\tilde{t}} dz \quad (3.6)$$

$$N_u^0(x, z) = zr(z) \frac{x}{h} - \hat{V} \beta^2 \left(\sqrt{z} \operatorname{sh} \sqrt{z} \frac{x}{h} - \operatorname{Bi} \left(1 - \operatorname{ch} \sqrt{z} \frac{x}{h} \right) \right) + \hat{T} \operatorname{Bi} \sqrt{z} \left(\operatorname{sh} \sqrt{z} - \operatorname{sh} \sqrt{z} \frac{h-x}{h} \right) \quad (3.7)$$

$$\sigma_{xx}(x, t) = -\frac{2\mu(1-\nu)}{(1-2\nu)h} \int_0^t \Delta(\tau) f_\sigma^0(x, t-\tau) d\tau, \quad 0 \leq x \leq h, \quad t > 0 \quad (3.8)$$

$$f_\sigma^0(x, t) = \frac{1}{2\pi i} \int_{\Gamma} \frac{N_\sigma^0(x, z)}{t_\kappa R(z)} e^{z\bar{t}} dz \quad (3.9)$$

$$N_\sigma^0(x, z) = (1 + \hat{T}) zr(z) \quad (3.10)$$

где

$$\operatorname{Bi} = \frac{kh}{K}, \quad \hat{V} = \frac{fV\alpha}{K} \frac{2\mu(1+\nu)h}{(1-2\nu)}, \quad \hat{T} = \frac{2\mu(1+\nu)^2}{(1-\nu)(1-2\nu)} \frac{\kappa\alpha^2}{K} T_0, \quad \beta^2 = 1 + \hat{T},$$

Контур интегрирования $\Gamma = \{z: -i\infty + dt_\kappa, i\infty + dt_\kappa\}$ представляет собой прямую линию в комплексной плоскости переменной интегрирования z , параллельную мнимой оси и отстоящую вправо от нее на величину $dt_\kappa > 0$. Значение d подбирается таким образом, чтобы контур интегрирования проходил правее всех изолированных особых точек подынтегральных функций. Следует заметить, что при $\hat{T} = 0$ полученные формулы (3.1)–(3.10) совпадают с соответствующими формулами несвязанной задачи термоупругости о скользящем термофрикционном контакте [23].

В полученных формулах решения рассматриваемой задачи (3.1)–(3.10) для $T(x, t)$, $u(x, t)$, $\sigma_{xx}(x, t)$ присутствуют контурные квадратуры (3.2), (3.6), (3.9). Подынтегральные функции этих квадратур в комплексной плоскости переменной интегрирования z являются функциями мероморфными, содержащими счетное множество полюсов. На бесконечности в комплексной плоскости переменной интегрирования z подынтегральные функции из (3.2), (3.6), (3.9) имеют следующие асимптотические оценки

$$N_T^0(x, z) R^{-1}(z) = \hat{T} + O(z^{-1/2}) \quad \text{при} \quad |z| \rightarrow \infty, \quad 0 < x < h \quad (3.11)$$

$$N_u^0(x, z) R^{-1}(z) = -\frac{x}{h} + O(z^{-1/2}) \quad \text{при} \quad |z| \rightarrow \infty, \quad 0 < x < h \quad (3.12)$$

$$N_\sigma^0(x, z) R^{-1}(z) = 1 + \hat{T} + O(z^{-1/2}) \quad \text{при} \quad |z| \rightarrow \infty, \quad 0 < x < h \quad (3.13)$$

Проведенные исследования показывают, что квадратуры (3.2), (3.6), (3.9) в обычном смысле не существуют и понимаются в обобщенном смысле [26]. После регуляризации подынтегральных функций контурных квадратур на бесконечности (при $|z| \rightarrow \infty$) с учетом асимптотических соотношений (3.11)–(3.13) контурные квадратуры записываются в виде суперпозиции регулярной части обобщенной составляющей и свертки Лапласа

$$T(x, t) - T_0 = \frac{1-\nu}{1+\nu} \frac{1}{\alpha h} \left(\hat{T} \Delta(t) + \int_0^t \Delta(\tau) f_T(x, t-\tau) d\tau \right), \quad 0 \leq x \leq h, \quad t > 0 \quad (3.14)$$

$$f_T(x, t) = \frac{1}{2\pi i} \int_{\Gamma} \frac{N_T(x, z)}{t_\kappa R(z)} e^{z\bar{t}} dz, \quad N_T(x, z) = N_T^0(x, z) - \hat{T} R(z) \quad (3.15)$$

$$u(x, t) = -\Delta(t) \frac{x}{h} - \int_0^t \Delta(\tau) f_u(x, t-\tau) d\tau, \quad 0 \leq x \leq h, \quad t > 0 \quad (3.16)$$

$$f_u(x, t) = \frac{1}{2\pi i} \int_{\Gamma} \frac{N_u(x, z)}{t_{\kappa} R(z)} e^{z\bar{t}} dz, \quad N_u(x, z) = N_u^0(x, z) - \frac{x}{h} R(z) \quad (3.17)$$

$$\sigma_{xx}(x, t) = -\frac{2\mu(1-\nu)}{(1-2\nu)h} \left((1 + \hat{T})\Delta(t) - \int_0^t \Delta(\tau) f_{\sigma}(x, t - \tau) d\tau \right), \quad 0 \leq x \leq h, \quad t > 0 \quad (3.18)$$

$$f_{\sigma}(x, t) = \frac{1}{2\pi i} \int_{\Gamma} \frac{N_{\sigma}(x, z)}{t_{\kappa} R(z)} e^{z\bar{t}} dz, \quad N_{\sigma}(x, z) = N_{\sigma}^0(x, z) - (1 + \hat{T})R(z) \quad (3.19)$$

в которых $N_T^0(x, z)$, $N_u^0(x, z)$, $N_{\sigma}^0(x, z)$, $R(z)$ из формул (3.3), (3.7), (3.10), (3.4) соответственно.

Квадратуры в (3.15), (3.17), (3.19) являются регулярными, подынтегральные функции квадратур являются мероморфными и на бесконечности имеют степенное убывание

$$N_{T,u,\sigma}^0(x, z)R^{-1}(z) = O(z^{-1/2}), \quad |z| \rightarrow \infty, \quad 0 \leq x \leq h \quad (3.20)$$

Для их вычисления можно использовать методы теории функций комплексного переменного [27]. В связи с этим возникает задача определения полюсов подынтегральных функций в квадратурах (3.15), (3.17), (3.19) в комплексной плоскости переменной интегрирования.

4. Полюсы подынтегральных функций. Полюсы подынтегральных функций в (3.15), (3.17), (3.19) совпадают с нулями $R(z)$ из (3.4) за исключением тех нулей $R(z)$, которые являются устранимыми особыми точками подынтегральных функций. Для определения нулей знаменателя подынтегральных функций $R(z)$ необходимо решить уравнение

$$R(z) = zr(z) - \hat{V}\beta^2(r(z) - \text{Bi}) + \hat{T}\text{Bi}\sqrt{z} \text{sh} \sqrt{z} = 0 \quad (4.1)$$

в комплексной плоскости $z = \xi + i\eta$, где β^2 , Bi , \hat{T} , \hat{V} даны после (3.10).

В уравнении (4.1) нули $R(z)$ зависят от трех безразмерных параметров задачи \hat{V} , Bi , \hat{T} , так как четвертый безразмерный параметр β^2 выражается через \hat{T} . Исследование поведения нулей $R(z)$ из (4.1) проводилось, используя опыт [22, 23] в зависимости от $\hat{V} \in [0, \infty)$ при фиксированных Bi , \hat{T} . Вычисления показали, что уравнение (4.1) имеет счетное множество действительных корней ζ_k $k = 0, 1, 2, \dots$, которые являются полюсами подынтегральных функций (3.15), (3.17), (3.19). На фиг. 1 показано изменение действительной части полюсов ζ_k $k = 0-4$ для $\text{Bi} = 100$. Сплошной линией показана величина полюса при значении параметра связанности $\hat{T} = 0$, что соответствует несвязанной задаче термоупругости [23]; штриховая линия соответствует $\hat{T} = 0.25$, а штрихпунктирная — $\hat{T} = 0.5$.

На фиг. 1 видно, что $\zeta_k(\hat{V}) < 0$ $k = 1, 2, 3, \dots$ при любых значениях $\hat{V} \in [0, \infty)$. Знак полюса ζ_0 зависит от значения \hat{V} : при $\hat{V} < \hat{V}_c$ где

$$\hat{V}_c = \frac{2\text{Bi}}{2 + \text{Bi}} \quad (4.2)$$

величина $\zeta_0(\hat{V}) < 0$, при $\hat{V} = \hat{V}_c$ полюс находится в начале координат $\zeta_0(\hat{V}_c) = 0$, в то время как при $\hat{V} > \hat{V}_c$ полюс становится положительным $\zeta_0(\hat{V}_c) > 0$ и при неограниченном увеличении \hat{V} $\lim_{\hat{V} \rightarrow \infty} \zeta_0(\hat{V}) = \infty$.

5. Эффективные решения задачи. В предположении, что полюсы подынтегральных функций ζ_k $k = 0, 1, 2, \dots$ из (3.15), (3.17), (3.19) однократны и известны, формулы вычисления перечисленных квадратур принимают вид

$$\frac{1}{2\pi i} \int_{\Gamma} \frac{N_{T,u,\sigma}(x, z)}{t_{\kappa} R(z)} e^{z\tilde{t}} dz = \sum_{k=0}^{\infty} B_{T,u,\sigma}(x, \zeta_k) e^{\zeta_k \tilde{t}}, \quad \tilde{t} = \frac{t}{t_{\kappa}} \quad (5.1)$$

$$B_{T,u,\sigma}(x, z) = \frac{N_{T,u,\sigma}(x, z)}{t_{\kappa} R'(z)} \quad (5.2)$$

где $R'(z)$ — производная от $R(z)$.

С учетом (3.14)–(3.19) и (5.2) получается, что

$$f_a(x, t) = \frac{1}{2\pi i} \int_{\Gamma} \frac{N_a(x, z)}{t_{\kappa} R(z)} e^{z\tilde{t}} dz = \sum_{k=0}^{\infty} B_a(x, \zeta_k) e^{\zeta_k \tilde{t}}, \quad a = T, u, \sigma \quad (5.3)$$

Решения задачи $T(x, t)$, $u(x, t)$, $\sigma_{xx}(x, t)$ при этом записываются в виде рядов по полюсам ζ_k $k = 0, 1, 2, \dots$

$$T(x, t) - T_0 = \frac{1 - \nu}{1 + \nu} \frac{1}{\alpha h} \left(\hat{T} \Delta(t) + \sum_{k=0}^{\infty} B_T(x, \zeta_k) D(\zeta_k, t) \right), \quad 0 \leq x \leq h, \quad t > 0 \quad (5.4)$$

$$u(x, t) = -\Delta(t) \frac{x}{h} + \sum_{k=0}^{\infty} B_u(x, \zeta_k) D(\zeta_k, t), \quad 0 \leq x \leq h, \quad t > 0 \quad (5.5)$$

$$\sigma_{xx}(x, t) = -\frac{2\mu(1 - \nu)}{(1 - 2\nu)h} \left[(1 + \hat{T}) \Delta(t) + \sum_{k=0}^{\infty} B_{\sigma}(x, \zeta_k) D(\zeta_k, t) \right], \quad 0 \leq x \leq h, \quad t > 0 \quad (5.6)$$

где $B_a(x, z)$ вычисляется по формуле (5/2), $D(z, t)$ по формуле

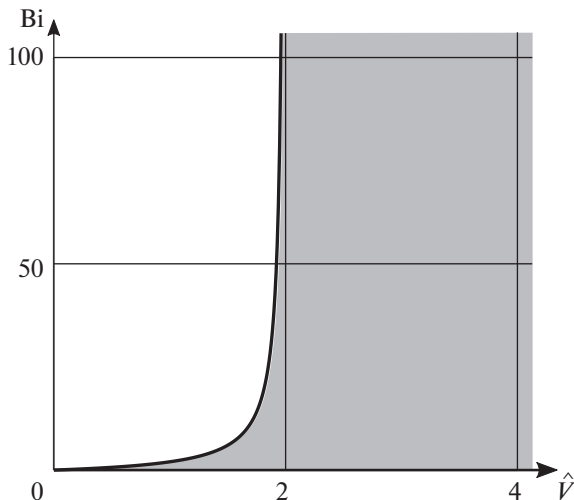
$$D(z, t) = \int_0^t \Delta(\tau) \exp(z(t - \tau)/t_{\kappa}) d\tau, \quad t > 0 \quad (5.7)$$

Горизонтальные смещения $w(x, t)$ определяются из (2.1) и вторых условий в (2.3), (2.5) и даются формулой

$$w(x, t) = -f\mu^{-1} \sigma_{xx}(h, t)x, \quad 0 \leq x \leq h, \quad t > 0 \quad (5.8)$$

6. Анализ решений задачи. Области устойчивых и неустойчивых решений. При анализе свойств полученных решений $T(x, t)$, $u(x, t)$, $\sigma_{xx}(x, t)$ используются разные их формы, как в виде свертки Лапласа (3.14), (3.16), (3.18), где одна из подынтегральных функций представляется в виде контурной квадратуры (3.15), (3.17), (3.19), так и в виде функциональных рядов (5.4)–(5.6). Исследование решений задачи $T(x, t)$, $u(x, t)$, $\sigma_{xx}(x, t)$, представленных как формулами (3.14), (3.16), (3.18), так и формулами (5.4)–(5.6), показывает, что при $\zeta_k < 0$ $k = 0, 1, 2, \dots$ решения задачи устойчивы и стремятся с увеличением времени t к стационарному состоянию. Если хотя бы один из ζ_k $k = 0, 1, 2, \dots$ при изменении параметров задачи становится положительным $\zeta_k > 0$, то амплитуда $T(x, t)$, $u(x, t)$, $\sigma_{xx}(x, t)$ неограниченно возрастает при $t \rightarrow \infty$, что свидетельствует о неустойчивости решения задачи, о термоупругой неустойчивости скользящего контакта. В предположении, что внедрение $\Delta(t)$ является функцией ограниченной

$$m < \Delta(t) < M, \quad 0 < t < \infty$$



Фиг. 2

для интеграла (5.7) при $\zeta_k > 0$ $k = 0, 1, 2, \dots$ справедлива оценка

$$|D(\zeta_k, t)| \geq m \left| \frac{1 - e^{\zeta_k \tilde{t}}}{\zeta_k} \right|, \quad \tilde{t} = \frac{t}{t_k} \quad (6.1)$$

свидетельствующая о том, что при $t \rightarrow \infty$ решения задачи (5.4)–(5.6) становятся неограниченными $\lim_{t \rightarrow \infty} \{T(x, t), p(x, t)\} = \infty$, где $p(x, t) = -\sigma_{xx}(x, t)$.

В комплексной плоскости z траектории $\zeta_0(\hat{V})$ для $\hat{V} \in [0, \hat{V}_c)$, где \hat{V}_c из (4.2), и ζ_k $k = 1, 2, \dots$ для $\hat{V} \in [0, \infty)$ и любых Bi и \hat{T} находятся в левой полуплоскости на отрицательной части действительной оси (фиг. 1) и образуют область устойчивых решений задачи. При $\hat{V} > \hat{V}_c$ полюс $\zeta_0(\hat{V})$ становится положительным, и хотя все остальные полюса ζ_k $k = 1, 2, 3, \dots$ отрицательны решение задачи согласно (6.1) неустойчиво.

На фиг. 2 на плоскости \hat{V} , Bi представлены области устойчивых (не закрашена) и неустойчивых (закрашена) решений задачи. Граница между указанными областями определяется из условия обнуления $\zeta_0(\hat{V}) = 0$ или $Bi = 2\hat{V}/(2 - \hat{V})$ и не зависит от параметра термомеханической связанности \hat{T} .

7. Асимптотический и численный анализ полученных решений. Формулы решения рассматриваемой связанной задачи термоупругости о скользящем контакте, полученные для температуры $T(x, t)$ (3.14), смещений $u(x, t)$ (3.16) и напряжений $\sigma_{xx}(x, t)$ (3.18), позволяют провести сравнительный асимптотический анализ изменения этих характеристик при малых t в условиях связанной и соответствующей несвязанной задачи. Формулы решения задачи (3.14), (3.16), (3.18) с учетом оценок (3.20) в области устойчивых решений записываются для малых t в виде следующих асимптотических соотношений

$$T(x, t) - T_0 = \frac{1 - \nu \hat{T}}{1 + \nu \alpha} \frac{\Delta(t)}{h} + O(t^{3/2} \Delta(t)) \quad \text{при } t \rightarrow 0, \quad 0 \leq x \leq h \quad (7.1)$$

$$u(x, t) = -x \frac{\Delta(t)}{h} + O(t^{3/2} \Delta(t)) \quad \text{при } t \rightarrow 0, \quad 0 \leq x \leq h \quad (7.2)$$

$$\sigma_{xx}(x, t) = -\frac{2\mu(1-\nu)}{(1-2\nu)}(1 + \hat{T})\frac{\Delta(t)}{h} + O(t^{3/2}\Delta(t)) \quad \text{при } t \rightarrow 0, \quad 0 \leq x \leq h \quad (7.3)$$

Первый член асимптотики (7.2) для смещения $u(x, t)$ совпадает с соответствующим членом несвязанной задачи [23]. После дифференцирования $u(x, t)$ в (7.2) по x и по t скорость деформации на контакте $\dot{\epsilon}_{xx}(h, t)$ имеет вид

$$\dot{\epsilon}_{xx} = \frac{\partial^2 u}{\partial x \partial t} = -\frac{\dot{\Delta}(t)}{h} + O(t^{3/2}\dot{\Delta}(t)), \quad t \rightarrow 0 \quad (7.4)$$

Отсюда следует, что в связанной задаче интенсивность изменения температуры на контакте $\dot{T}(h, t)$ при малых t пропорциональна скорости деформации $\dot{\epsilon}_{xx}$ с коэффициентом пропорциональности

$$-\frac{1-\nu}{1+\nu}\frac{\hat{T}}{\alpha h} \quad (7.5)$$

пропорциональном \hat{T} . Напряжения на контакте $\sigma_{xx}(x, t)$ при малых t пропорциональны скорости деформации $\dot{\epsilon}_{xx}$ с коэффициентом пропорциональности

$$-\frac{2\mu(1-\nu)}{(1-2\nu)h}(1 + \hat{T}) \quad (7.6)$$

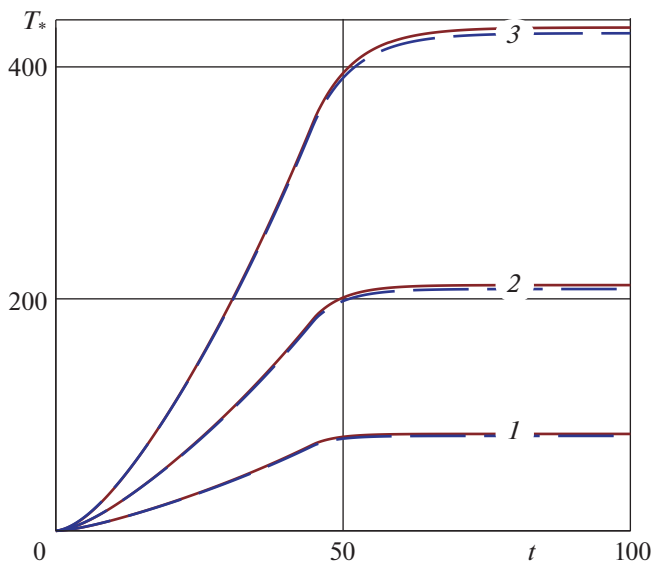
также зависящим от \hat{T} . Формулы (7.5), (7.6), как и формулы (7.1), (7.3), демонстрируют влияние связанности на основные параметры контакта и позволяют указать параметры задачи, которые способствуют усилению этого влияния.

Численный анализ полученных решений рассматриваемой связанной задачи термоупругости о скользящем контакте в условиях разогрева от трения сводится к расчетам температуры $T(h, t)$ по формуле (5.4) и контактных напряжений $p(t) = -\sigma_{xx}(h, t)$ (5.6) в пространстве безразмерных параметров \hat{V} , Bi , \hat{T} . Расчеты проводятся в предположении, что максимальный уровень проседания жесткой полуплоскости I в упругое покрытие равен Δ_0 . Закон $\Delta(t)$ внедрения полуплоскости I , состоящий из активной фазы (на временном интервале $0 < t < t_\epsilon$) и пассивной фазы (на интервале $t_\epsilon < t < \infty$) принимается в виде

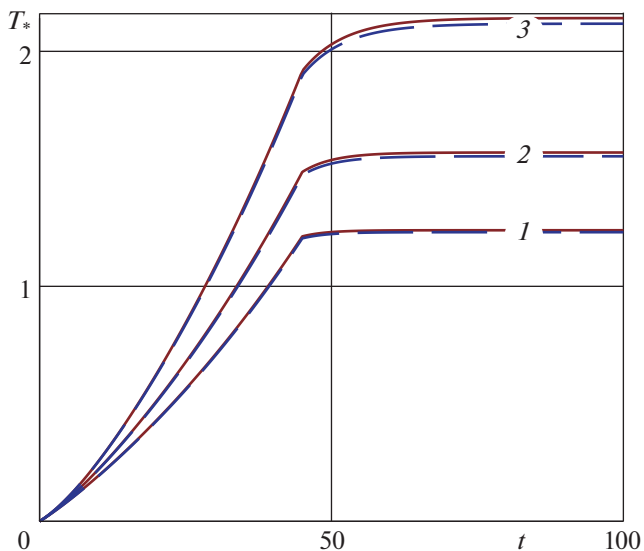
$$\Delta(t) = \Delta_0 \begin{cases} -1 + e^{\epsilon t}, & 0 < t < t_\epsilon \\ 1, & t_\epsilon < t < \infty \end{cases} \quad (7.7)$$

где $t_\epsilon = \epsilon^{-1} \ln 2$ – время окончания активной фазы внедрения, ϵ – параметр закона внедрения.

Характер неустойчивых решений связанной задачи качественно не отличается от соответствующих неустойчивых решений несвязанной задачи [23], а области неустойчивых решений связанной и несвязанной задач совпадают. Ниже исследуется влияние параметров V – скорости скольжения полуплоскости I и T_0 – температуры окружающей среды на развитие температуры на контакте $T(h, t)$ и контактных напряжений $p(t) = -\sigma_{xx}(h, t)$, возникающих и развивающихся во времени на скользящем контакте между жесткой полуплоскостью I и покрытием из алюминиевого сплава со следующими термомеханическими $\mu = 24.8$ ГПа, $\nu = 0.34$, $\kappa = 88.09 \times 10^{-6}$ м²/с, $\alpha = 22.9 \times 10^{-6}$ 1/град, $K = 209.3$ Вт/(м · град), $f = 0.15$, $k = 100$ кВт/(м² · град) и геометрическими $h = 25$ мм, $\Delta_0 = 0.01h = 0.25$ мм характеристиками. Рассматриваются три скорости скольжения V : $V_1 = 3.5$ мм/с, $V_2 = 7$ мм/с, $V_3 = 10.5$ мм/с, и два значения начальной температуры T_0 : $T_0^1 = 0$, $T_0^2 = 525$ К, которые соответствуют следующим безразмерным параметрам \hat{V}



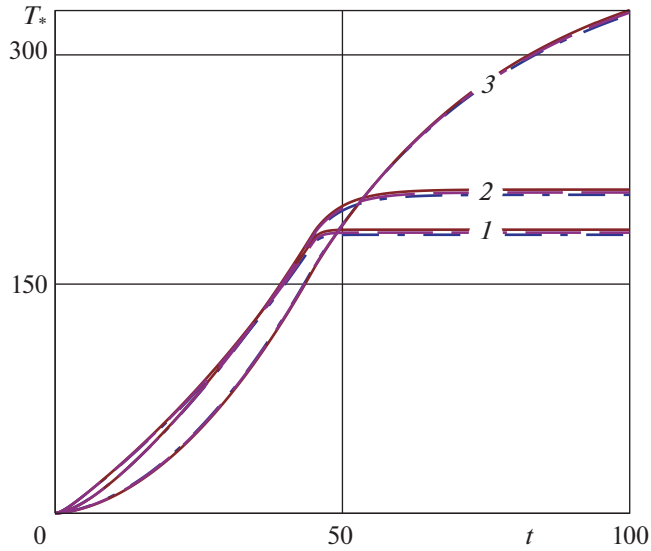
Фиг. 3



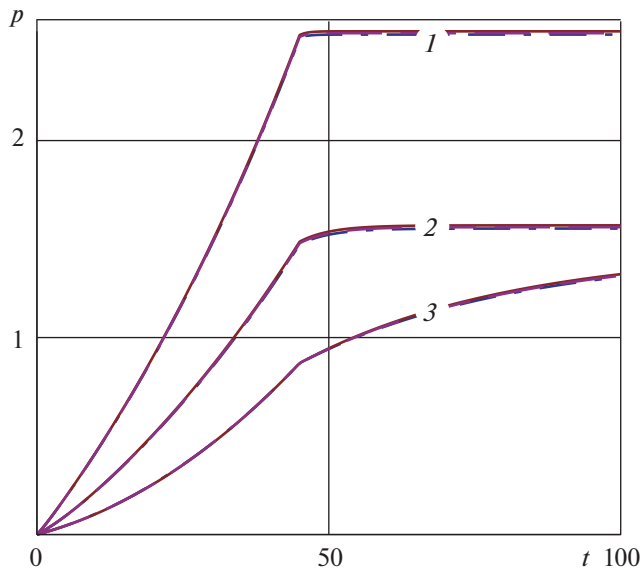
Фиг. 4

и \hat{T} : $\hat{V}_1 = 0.298266$, $\hat{V}_2 = 0.596530$, $\hat{V}_3 = 0.894794$ и $\hat{T}_1 = 0$, $\hat{T}_2 = 0.000093$ из области устойчивых решений (фиг. 2). Параметр V_i фиксирован и равен 11.9446.

На фиг. 3 представлены графики $T_*(h, t) = T(h, t) - T_0$ (К), на фиг. 4 – графики $p(t) = -\sigma_{xx}(h, t)$ (ГПа) при $\hat{T} = \hat{T}_1$ (сплошной линией) и $\hat{T} = \hat{T}_2$ (штриховой) для различных \hat{V}_k , номера k которых указаны цифрами 1–3 на кривых. По горизонтальной оси на фиг. 3



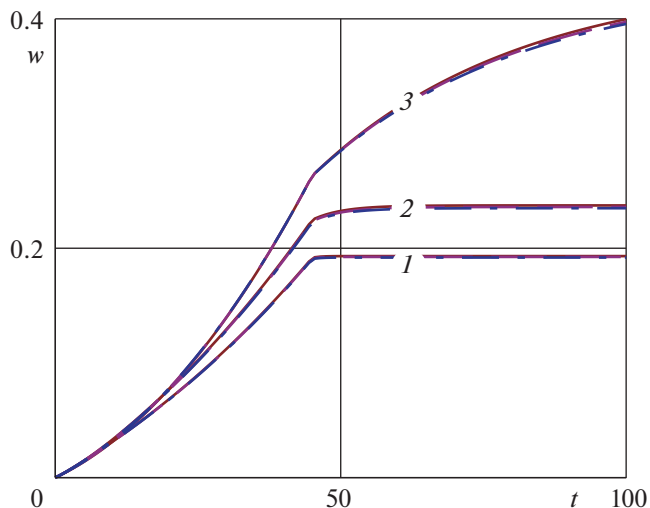
Фиг. 5



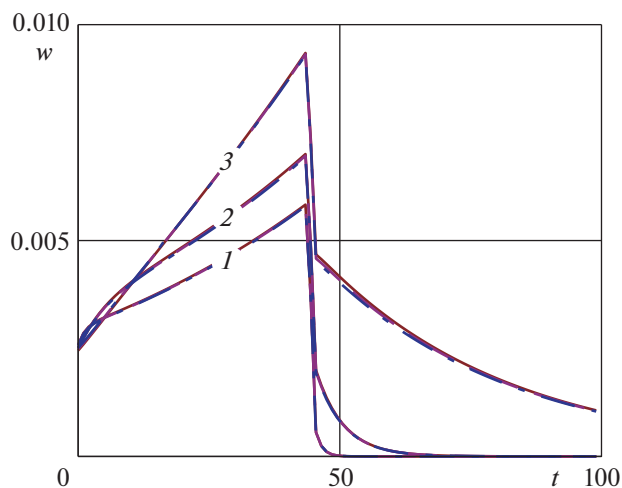
Фиг. 6

и последующих фигурах отмечено время t (с). Время окончания активной фазы внедрения $t_{\text{э}}$ составляет 45 с.

Расчеты показали, что заметное влияние на физические характеристики контакта $T(h, t)$ и $p(t) = -\sigma_{xx}(h, t)$ оказывает толщина покрытия h и время активной фазы внедрения $t_{\text{э}}$. На фиг. 5–6 представлены графики $T_*(h, t) = T(h, t) - T_0$ (К) и $p(t) = -\sigma_{xx}(h, t)$ (ГПа) для трех значений $h = 12.5$ мм (отмечен цифрой 1), 25 мм (2), 50 мм (3) и фикси-



Фиг. 7



Фиг. 8

рованного $\Delta_0 = 0.25$ мм для покрытия из алюминиевого сплава. Скорость скольжения $V = 7$ мм/с. Сплошной линией изображены графики при начальной температуре $T_0^1 = 0$, штриховой – $T_0^2 = 525$ К. Из графиков на фиг. 6 видно, что увеличение толщины покрытия приводит к уменьшению значений контактного давления $p(t)$ (фиг. 6).

Горизонтальные смещения поверхности покрытия $w(h, t)$ и скорости $\dot{w}(h, t)$ приобретают влияние связанности через нормальные напряжения $\sigma_{xx}(h, t)$ на контакте согласно формулам (5.8) и асимптотики $\sigma_{xx}(h, t)$ (7.3). На фиг. 7–8 приведены графики $w(h, t)$ (мм) и $\dot{w}(h, t)$ (мм/с) при трех значениях $h = 12.5$ мм (отмечен цифрой 1), 25 мм (2), 50 мм (3) и тех же значениях параметров контакта, которые использовались при

построении графиков на фиг. 5–6. Из фиг. 7–8 видно, что с увеличением толщины покрытия величины горизонтальных смещений и их скорости увеличиваются.

8. Мониторинг и управление параметрами контакта. Размещение пленочных наноразмерных датчиков в изделиях из композитных, функционально-градиентных и многослойных материалов вносит исчезающе малый вклад при расчетах напряженно-деформируемого состояния на макроуровне. В рамках постановки основной задачи макроисследования скользящего контакта появляется возможность решения частных задач об отслеживании основных параметров контакта по данным датчиков, расположенных на произвольной глубине контактирующих материалов. К частным задачам такого типа относятся задачи о мониторинге основных параметров скользящего контакта при эксплуатации триботехнических устройств, а также задачи управления этими параметрами с целью недопущения возникновения термоупругой неустойчивости. Полученные в результате мониторинга данные с датчиков, расположенных на глубине под скользящим контактом, пересчитываются по формулам, заранее полученным при решении соответствующих частных задач, на значения основных параметров контакта.

Частные задачи мониторинга параметров скользящего контакта формулируются следующим образом: по данным датчиков а) давления, б) температуры, установленных, к примеру, между покрытием и подложкой, определить значения основных параметров скользящего контакта – контактных напряжений, температуры разогрева контакта. При этом предполагается, что сами датчики в силу их малости не вносят искажений в напряженно-деформированное состояние изделия.

В случае а) для получения формул пересчета напряжений между покрытием и подложкой $\sigma_{xx}(0, t)$ на температуру $T(h, t) - T_0$ на контакте используются формулы (3.1)–(3.3) и (3.8)–(3.10), из которых следует

$$\sigma_{xx}(0, t) = -\frac{2\mu(1-\nu)}{(1-2\nu)h} \int_0^t \Delta(\tau) f_\sigma^0(0, t-\tau) d\tau \quad (8.1)$$

$$T(h, t) - T_0 = \frac{1-\nu}{1+\nu} \frac{1}{\alpha h} \int_0^t \Delta(\tau) f_T^0(h, t-\tau) d\tau, \quad t > 0 \quad (8.2)$$

где $f_\sigma^0(0, t)$ и $f_\sigma^0(h, t)$ вычисляются по формуле (3.9), $f_T^0(h, t)$ вычисляется по формуле (3.2) через функцию $N_T^0(h, z)$ из (3.3).

Исключая $\Delta(t)$ из (8.1), (8.2) с помощью преобразования Лапласа получим соотношение для пересчета $\sigma_{xx}(0, t)$ на $T(h, t) - T_0$ в виде

$$T(h, t) - T_0 = -\frac{1-2\nu}{2(1+\nu)} \frac{1}{\mu\alpha} \left[\frac{\hat{T}}{1+\hat{T}} \sigma_{xx}(0, t) + \int_0^t \sigma_{xx}(0, \tau) g_{T,\sigma}(t-\tau) d\tau \right] \quad (8.3)$$

$$g_{T,\sigma}(t) = \frac{1}{2\pi i} \int_{\Gamma} \frac{\tilde{N}_T^0(z)}{t_\kappa \tilde{N}_\sigma^0(0, z)} e^{\tilde{z}t} dz, \quad \tilde{t} = \frac{t}{t_\kappa} \quad (8.4)$$

$$\tilde{N}_T^0(z) = \hat{\nu} \beta^2 z \operatorname{ch} \sqrt{z} - \hat{T} \operatorname{Bi} z + \operatorname{Bi} \sqrt{z} \operatorname{sh} \sqrt{z}$$

$$\tilde{N}_\sigma^0(0, z) = z^{-1} N_\sigma^0(0, z) = \beta^2 r(z)$$

Вычисляя интеграл в (8.4), получим соотношение (8.3) в новой форме

$$T(h, t) - T_0 = -\frac{1-2\nu}{2(1+\nu)} \frac{1}{\alpha\mu} \left[\frac{\hat{T}}{1+\hat{T}} \sigma_{xx}(0, t) + \sum_{k=0}^{\infty} B_\sigma^T(\zeta_k) \int_0^t \sigma_{xx}(0, \tau) e^{\frac{\zeta_k}{t_\kappa} (t-\tau)} d\tau \right]$$

$$B_{\sigma}^T(z) = \frac{\tilde{N}_T^0(z)}{t_{\kappa}(\tilde{N}_{\sigma}^0(0, z))'_z}$$

где ζ_k $k = 0, 1, 2, \dots$ являются корнями уравнения $\tilde{N}_{\sigma}^0(0, z) = 0$, причем $\text{Re}(\zeta_k) < 0$, $k = 0, 1, 2, \dots$

В случае б) для получения формулы пересчета температуры $T(0, t) - T_0$ между покрытием и подложкой на контактные напряжения $\sigma_{xx}(h, t)$ воспользуемся формулами (3.1)–(3.3) и (3.8)–(3.10), из которых следует, что

$$\sigma_{xx}(h, t) = -\frac{2\mu(1-\nu)}{(1-2\nu)h} \int_0^t \Delta(\tau) f_{\sigma}^0(h, t-\tau) d\tau \quad (8.5)$$

$$T(0, t) - T_0 = \frac{1-\nu}{1+\nu} \frac{\hat{V}\beta^2}{\alpha h} \int_0^t \Delta(\tau) f_T^0(0, t-\tau) d\tau, \quad t > 0 \quad (8.6)$$

где $f_T^0(0, t)$ вычисляется по формуле (3.2) через $N_T^0(0, z)$ из (3.3).

Исключая из (8.5) и (8.2) функцию $\Delta(t)$ с помощью преобразования Лапласа, получим формулу пересчета $T(0, t) - T_0 = T_0(t)$ на $\sigma_{xx}(h, t)$

$$\sigma_{xx}(h, t) = -\frac{2\mu(1+\nu)\alpha}{1-2\nu} \left[\frac{\beta^2 h^2}{\hat{T}} T_0(t) + \int_0^t T_0(\tau) g_{\sigma, T}(t-\tau) d\tau \right] \quad (8.7)$$

$$\tilde{g}_{\sigma, T}^0(t) = \frac{1}{2\pi i} \int_{\Gamma} \frac{\tilde{N}_{\sigma}^0(z)}{t_{\kappa} \tilde{N}_T^0(0, z)} e^{\tilde{z}t} dz, \quad \tilde{t} = \frac{t}{t_{\kappa}} \quad (8.8)$$

$$z \tilde{N}_{\sigma}^0(z) = N_{\sigma}^0(h, z) - \frac{1+\hat{T}}{\hat{T}} N_T^0(0, z) = \beta^2 \left(\text{Bi ch } \sqrt{z} - \beta^2 \frac{\hat{V}}{\hat{T}} \right)$$

$$\tilde{N}_T^0(z) = z^{-1} N_T^0(h, z) = \hat{T} \sqrt{z} \text{sh } \sqrt{z} + \hat{V} \beta^2$$

После вычисления интеграла в (8.8) получим формулу пересчета в более простой форме

$$\sigma_{xx}(h, t) = -\frac{2\mu(1+\nu)\alpha}{1-2\nu} \left[\frac{(1+\hat{T})h^2}{\hat{T}} T_0(t) + \sum_{k=0}^{\infty} B_{\sigma}^0(\zeta_k) \int_0^t \sigma_{xx}(0, \tau) e^{\frac{\zeta_k}{t_{\kappa}}(t-\tau)} d\tau \right]$$

$$B_{\sigma}^0(z) = \frac{\tilde{N}_{\sigma}^0(z)}{t_{\kappa}(\tilde{N}_T^0(h, z))'_z}, \quad t > 0$$

где ζ_k $k = 0, 1, 2, \dots$ являются корнями уравнения $\tilde{N}_T^0(h, z) = 0$, а $\text{Re}(\zeta_k) < 0$, $k = 0, 1, 2, \dots$

Управление параметрами скользящего контакта – напряжениями и температурой – может достигаться, в том числе, за счет подбора закона внедрения штампа $\Delta(t)$ в упругое покрытие. Пусть требуется подобрать закон внедрения $\Delta(t)$ таким образом, чтобы: в) напряжения $\sigma_{xx}(h, t)$ на контакте изменялись по заранее заданному закону $\sigma_{xx}(h, t) = -p(t)$, в том числе и при $p(t) = \text{const}$; г) на контакте температура $T(h, t)$ изменялась бы по заранее заданному закону $T(h, t) - T_0 = T_h(t)$ или была бы постоянной заранее установленной величиной $T_h(t) = T = \text{const}$.

В случае в) для определения $\Delta(t)$ при заданном $\sigma_{xx}(h, t) = -p(t)$ решение задачи с помощью формулы (3.8) сводится к интегральному уравнению Вольтерры [28]

$$\int_0^t \Delta(\tau) f_{\sigma}^0(h, t - \tau) d\tau = \frac{(1 - 2\nu)h}{2\mu(1 - \nu)} p(t), \quad t > 0 \quad (8.9)$$

$$f_{\sigma}^0(h, t) = \frac{1}{2\pi i} \int_{\Gamma} \frac{N_{\sigma}^0(h, z)}{t_{\kappa} R(z)} e^{\tilde{z}t} dz, \quad \tilde{t} = \frac{t}{t_{\kappa}} \quad (8.10)$$

где $N_{\sigma}^0(h, z)$ определена в (3.10), а $R(z)$ в (3.4).

Для обращения интегрального уравнения (8.9) используется преобразование Лапласа, с помощью которого определяется

$$\Delta(t) = \frac{(1 - 2\nu)h}{2\mu(1 - \nu)\beta^2} \left[p(t) + \sum_{k=0}^{\infty} B_{\sigma}^R(\zeta_k) \int_0^t p(\tau) e^{\frac{\zeta_k t - \tau}{t_{\kappa}}} d\tau \right], \quad t > 0 \quad (8.11)$$

$$B_{\sigma}^R(z) = \frac{R(z)}{t_{\kappa} \zeta_k (\tilde{N}_{\sigma}^0(h, z))'_z}$$

где ζ_k $k = 0, 1, 2, \dots$ – все корни уравнения $\tilde{N}_{\sigma}^0(h, z) = \beta^2 r(z) = 0$, причем $\text{Re}(\zeta_k) < 0$ $k = 0, 1, 2, \dots$

При $p(t) = p_0 = \text{const}$, когда напряжение на контакте при $t > 0$ удерживается постоянным, $\Delta(t)$ принимает вид

$$\Delta(t) = \frac{(1 - 2\nu)h p_0}{2\mu(1 - \nu)\beta^2} \left(H(t) + \sum_{k=0}^{\infty} \frac{t_{\kappa}}{\zeta_k} B_{\sigma}^R(\zeta_k) \left(e^{\frac{\zeta_k t}{t_{\kappa}}} - 1 \right) \right), \quad t > 0 \quad (8.12)$$

где $H(t)$ – функция Хевисайда.

В случае г) для определения $\Delta(t)$ по заданному $T(h, t) - T_0 = T_h(t)$ решение задачи с помощью формулы (3.1) сводится к интегральному уравнению Вольтерры

$$\int_0^t \Delta(\tau) f_T^0(h, t - \tau) d\tau = \frac{1 + \nu}{1 - \nu} \alpha h T_h(t), \quad t > 0 \quad (8.13)$$

где $f_T^0(h, t)$ вычисляется по формуле (3.2) через функцию $N_T^0(h, z)$ из (3.3).

Обращение интегрального уравнения (8.13) определяется с помощью преобразования Лапласа

$$\Delta(t) = \frac{1 + \nu}{1 - \nu} \frac{\alpha h}{\tilde{T}} \left(T_h(t) + \int_0^t T_h(\tau) \tilde{g}_T^0(t - \tau) d\tau \right), \quad t > 0 \quad (8.14)$$

$$\tilde{g}_T^0(t) = \frac{1}{2\pi i} \int_{\Gamma} \frac{R(z)}{t_{\kappa} z \tilde{N}_T^0(h, z)} e^{\tilde{z}t} dz, \quad \tilde{t} = \frac{t}{t_{\kappa}} \quad (8.15)$$

$$\tilde{N}_T^0(h, z) = \tilde{T}r(z) + \tilde{\nu}\beta^2 \left(\text{Bi} \frac{\text{sh} \sqrt{z}}{\sqrt{z}} + \text{ch} \sqrt{z} \right) - \tilde{T}\text{Bi}$$

где $r(z)$ из (3.4).

После вычисления интеграла в (8.15) и подстановки результата в (8.14) получим формулу

$$\Delta(t) = \frac{1 + \nu \alpha h}{1 - \nu \hat{T}} \left(T_h(t) + \sum_{k=1}^{\infty} B_T^R(\zeta_k) \int_0^t T_h(\tau) e^{\frac{\zeta_k t - \tau}{t_k}} d\tau \right) \quad (8.16)$$

$$B_T^R(z) = \frac{R(z)}{z(\tilde{N}_T^0(h, z))'_z}$$

где ζ_k $k = 0, 1, 2, \dots$ – все корни уравнения $\tilde{N}_T^0(h, z) = 0$, причем $\text{Re}(\zeta_k) < 0$ $k = 0, 1, 2, \dots$

Для поддержания на скользящем контакте постоянной температуры $T_h(t) = T_h = \text{const}$ получается следующая зависимость внедрения $\Delta(t)$ от T_h

$$\Delta(t) = \frac{1 + \nu \alpha h T_h}{1 - \nu \hat{T}} \left[H(t) + \sum_{k=0}^{\infty} \frac{t_k}{\zeta_k} B_T^R(\zeta_k) \left(e^{\frac{\zeta_k t}{t_k}} - 1 \right) \right], \quad t > 0 \quad (8.17)$$

9. Заключение. Точные решения связанной задачи термоупругости о скользящем термофрикционном контакте позволяют:

– установить области устойчивых и неустойчивых решений в области безразмерных параметров задачи;

– установить влияние связанности задачи на изменение границы областей устойчивых и неустойчивых решений, на собственные числа задачи, на основные параметры контакта – температуру и напряжения;

– решить частные задачи опосредованного мониторинга основных параметров скользящего контакта;

– решить частные задачи управления параметрами контакта за счет подбора закона внедрения жесткого тела.

Работа выполнена при финансовой поддержке Минобрнауки РФ (госзадание 9.1481.2017/4.6) и РФФИ (гранты 16-07-00929-а, 17-07-01376-а).

СПИСОК ЛИТЕРАТУРЫ

1. Biot M.A. Thermoelasticity and irreversible thermodynamics // J. Appl. Phys. 1956. V. 27. № 3. P. 240–253.
2. Deresiewicz H. Solution of the equations of thermoelasticity // Proc. 3rd Nat. Congr. Appl. Mech. ASME. Providence: Brown University, 1958. P. 287–291.
3. Chadwick P. Thermoelasticity. The dynamical theory // Progress in Solid Mechanics / I.N. Sneddon, R. Hill (eds.) Amsterdam: North-Holland Publishing Company, 1960. P. 263–328.
4. Боли Б., Уэйнер Д. Теория температурных напряжений. М.: Мир, 1964. Пер. с англ. 518 с.
5. Новацкий В. Динамические задачи термоупругости. М.: Мир, 1970. Пер. с пол. 256 с.
6. Nickell R.E., Sackman J.L. Approximate solutions in linear, coupled thermoelasticity // J. Appl. Mech. 1968. V. 35. № 2. P. 255–266.
7. Oden J.T. Finite element analysis of nonlinear problems in the dynamical theory of coupled thermoelasticity // Nucl. Eng. Des. 1969. V. 10. № 4. P. 465–475.
8. Prevost J.H., Tao D. Finite element analysis of dynamic coupled thermoelasticity problems with relaxation times // J. Appl. Mech. 1983. V. 50. № 4a. P. 817–822.
9. Carter J.P., Booker J.R. Finite element analysis of coupled thermoelasticity // Comput. Struct. 1989. V. 31. № 1. P. 73–80.
10. Hacquin A., Montmitonnet P., Guillerault J.P. A steady state thermo-elastoviscoplastic finite element model of rolling with coupled thermo-elastic roll deformation // J. Mater. Process. Technol. 1996. V. 60. № 1. P. 109–116.
11. Repka M., Lion A. Simulation of the coupled thermo-elastic behavior of constrained films in differential scanning calorimetry using the finite element method // Thermochim. Acta. 2014. V. 581. P. 62–69.

12. Грибанов В.Ф., Паничкин Н.Г. Связанные и динамические задачи термоупругости. М.: Машиностроение, 1984. 151 с.
13. Слоновский Н.В. О термоупругой устойчивости при трении скольжения // Прикл. мат. мех. 1969. Т. 33. № 1. С. 117–121.
14. Dow T.A., Burton R.A. Thermoelastic instabilities of sliding contact in the absence of wear // Wear. 1972. V. 19. № 3. P. 315–328.
15. Dow T.A., Burton R.A. The role of wear in the initiation of thermoelastic instabilities of rubbing contact // J. Lubr. Technol. 1973. V. 95. № 1. P. 71–75.
16. Dow T.A. Thermoelastic effects in a thin sliding seal – a review // Wear. 1980. V. 59. P. 31–52.
17. Burton R.A., Nerlikar V., Kilaparti S.R. Thermoelastic instability in a seal-like configuration // Wear. 1973. V. 24. № 2. P. 177–188.
18. Chen C.P., Burton R.A. Thermoelastic effects in brushes with high current and high sliding speeds // Wear. 1979. V. 5. № 1. P. 277–288.
19. Burton R.A., Bryant M.D. Transient thermal deformation in electrical brushes // J. Therm. Stress. 1981. V. 4. № 2. P. 223–235.
20. Afferrante L., Ciavarella M. A note on thermoelastodynamic instability (TEDI) for a 1D elastic layer: Force control // Int. J. Solids Struct. 2007. V. 44. № 5. P. 1380–1390.
21. Afferrante L., Ciavarella M. Thermo-elastic dynamic instability (TEDI) in frictional sliding of two elastic half-spaces // J. Mech. Phys. Solids. 2007. V. 55. № 4. P. 744–764.
22. Зеленцов В.Б., Митрин Б.И., Васильев А.С., Волков С.С. Термоупругодинамическая неустойчивость решения контактной задачи для покрытия с учетом тепловыделения от трения // Вестник Донского гос. техн. унив-та. 2014. Т. 14. № 4. С. 17–29.
23. Зеленцов В.Б., Митрин Б.И., Айзикович С.М. Динамическая и квазистатическая неустойчивость скользящего термофрикционного контакта // Трение и износ. 2016. Т. 37. № 3. С. 280–289.
24. Коваленко А.Д. Введение в термоупругость. К.: Наук. думка, 1965. 204 с.
25. Диткин В.А., Прудников А.П. Операционное исчисление. М.: Высшая школа, 1975. 407 с.
26. Брычков Ю.А., Прудников А.П. Интегральные преобразования обобщенных функций. М.: Наука, 1977. 287 с.
27. Титчмарш Е. Теория функций. М.: Наука, 1980. 463 с.
28. Забрейко П.П., Кошелев А.И., Красносельский М.А. и др. Интегральные уравнения. М.: Физматлит, 1968. 448 с.